

## Ethanolamines 合成에서의 反応速度 解析研究

朴健裕 · 朴泰基 · 李炳權

韓国科学技術院 化学工学部

(1985년 5월 29일 접수, 1985년 7월 2일 채택)

## A Study on the Reaction Kinetics for Ethanolamines Synthesis

Park Kun- You, Park Tae- Ki and Lee Byung- Kwon

Div. of Chem. Eng., KAIST, P. O. Box 131 Dong-dae-mun, Seoul 131, Korea

(Received 29 May 1985; accepted 2 July 1985)

### 要 約

Ammonia와 ethylene oxide로 부터 이루어지는 ethanolamines 合成反応에서 反応速度常数 및 活性化에너지의 결정 등 反応速度式을 중심으로 한 ethanolamines 제조과정을 回分式 실험에 의한 反応機構分析을 통해 고찰해 보았다.

반응을 2 차의 非可逆 competitive consecutive reaction이라고 가정하고, 28wt %의 ammonia 수용액을 사용하는 경우 反応速度  $k_1$ 은 20°C에서  $1.235 \times 10^{-3} l/min \cdot mol$ , 35°C에서  $3.243 \times 10^{-3} l/min \cdot mol$ , 50°C에서  $7.784 \times 10^{-3} l/min \cdot mol$ , 活性化에너지인 약 11,500 cal/mol로 구해졌다. 또 反応速度常数比가  $K_2 (=k_2/k_1) = 8.51 - 0.051C_w$ ,  $K_3 (=k_3/k_1) = 14.81 - 0.196C_w$ 로 구해져 물 濃度에 대한 1 차 減少函數의 관계가 확인되었다. 反応速度  $k_1$ 과 速度常数比  $K_2, K_3$ 로 부터 数值解析의 으로 계산된 결과들은 実驗值와 매우 잘一致하였다.

**Abstract** – A study on the reaction mechanism for the manufacture of ethanolamines from aqueous ammonia and ethylene oxide was carried out in a bench scale batch reactor. Rate constants and activation energy were determined by assuming that the reaction occurred in the manner of irreversible competitive consecutive second order reaction.

In the case of 28% aqueous ammonia as a reactant, the reaction rate constants in the first step ( $k_1$ ) were calculated to be  $1.235 \times 10^{-3} l/min \cdot mol$ ,  $3.243 \times 10^{-3} l/min \cdot mol$ , and  $7.784 \times 10^{-3} l/min \cdot mol$  at 20°C, 35°C and 50°C respectively. The calculated activation energy was about 11,500 cal/mol. Process simulation using these calculated results was found satisfactory in good accordance with the actual experimental results.

### I. 緒 論

amine (TEA) 的 3 종류를 나타낸다.

일반적으로 ethanolamines 라고 하면 monoethanolamine (MEA), diethanolamine (DEA), triethanol-

Ethanolamines는 1860년 Wurtz [1] 가 밀폐된 tube 내에서 ethylene chlorhydrin과 aqueous ammonia를 사용하여 최초로 합성하였으며, 1897년 Knorr [1]

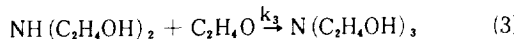
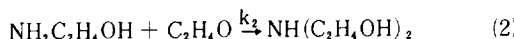
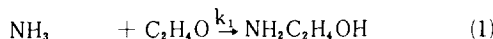
가分別蒸溜法에 의해 분리를 성공적으로 실시하였다. 그후 1928년에 이르러서는 TEA가 공업적으로 생산되기 시작하였고, 1931년에는 MEA 및 TEA의 공업적 대량생산이 가능하게 되었다[1]. 대부분의 대단위 제조공정들은 ethylene oxide와 aqueous ammonia를 사용하여 ethanolamines를 생산하고 있는데, ammonia는 주로 15~50%의 수溶液을 사용하고 있다.

Ethanolamines은 酸性 gas의 吸收處理劑, 洗剤 및 화장품 등을 비롯한 여분야에서 널리 사용되고 있고, 특히 최근에는 aminoethylethanolamine, diethylethanolamine 등과 같은 置換誘導體의 형태로 용도가 다변화되면서 수요가 급격히 증가하고 있어 전량수입에 의존하고 있는 우리나라에서도 국내생산의 필요성이 대두되고 있다.

Ethanolamines의 제조에 대한 연구는 三木[2], P. Ferrero[10], Ahn Y. S. et al 등 여분야에 의해 反應條件에 따른 生成物의 分布나 速度常數比, 活性化에너지 등에 관해 이미 발표된 바 있으나, 본 연구에서는 이들의 연구결과를 바탕으로 反應速度式을 중심으로 한 ethanolamines 제조과정을 회분식 실험에 의한 反應機構分析을 통해 고찰해 보고자 한다.

## II. 理 論

Ethylene oxide와 aqueous NH<sub>3</sub>로 이루어지는 ethanolamines 제조반응은 다음과 같다.



이 반응은 전형적인 2 차의 非可逆 competitive consecutive reaction으로 알려져 있고[2, 11, 13], 副反應은 거의 무시할 수 있으므로 反應速度式은 다음과 같이 표시될 수 있다.

$$\frac{d(C_M + C_D + C_T)}{dt} = k_1 C_A C_E \quad (4)$$

$$\frac{d(C_D + C_T)}{dt} = k_2 C_M C_E \quad (5)$$

$$\frac{dC_T}{dt} = k_3 C_D C_E \quad (6)$$

$$C_{AO} = C_A + C_M + C_D + C_T \quad (7)$$

$$C_{EO} = C_E + C_M + 2C_D + 3C_T \quad (8)$$

$$\text{또 } C_{MO} = C_{DO} = C_{TO} = 0 \quad (9)$$

여기서 C<sub>M</sub>, C<sub>D</sub>, C<sub>T</sub>는 각각 mono-, di-, triethanolamine의 濃度를, C<sub>A</sub>, C<sub>E</sub>는 ammonia, ethylene oxide의 濃度를 나타내고, C<sub>AO</sub>, C<sub>EO</sub>, C<sub>MO</sub>, C<sub>DO</sub>, C<sub>TO</sub> 등은 각각의 初期濃度를 나타낸다.

식 (4), (5), (6)에 初期條件 식 (7), (8), (9)를 대입하여 정리하면 다음과 같다.

$$\frac{C_D}{C_{AO}} = \frac{K_2}{(1-K_2)(1-K_3)} \left( \frac{C_A}{C_{AO}} \right) + \frac{K_2}{(K_2-1)(K_2-K_3)} \quad (10)$$

$$\left( \frac{C_A}{C_{AO}} \right)^{K_2} + \frac{K_2}{(K_3-1)(K_3-K_2)} \left( \frac{C_A}{C_{AO}} \right)^{K_3} \quad (10)$$

$$\frac{C_T}{C_{AO}} = 1 - \frac{K_2 K_3}{(1-K_2)(1-K_3)} \left( \frac{C_A}{C_{AO}} \right) - \frac{K_3}{(K_2-1)(K_2-K_3)} \quad (11)$$

$$\left( \frac{C_A}{C_{AO}} \right)^{K_2} - \frac{K_2}{(K_3-1)(K_3-K_2)} \left( \frac{C_A}{C_{AO}} \right)^{K_3} \quad (11)$$

여기서  $K_2 = \frac{k_2}{k_1}$ ,  $K_3 = \frac{k_3}{k_1}$ 을 나타낸다. 이들 관계식에서 生成物의 分布는 速度常數比 ( $K_2$  및  $K_3$ )에 의해 결정됨을 알 수 있다.

## III. 實 驗

### III-1. 實驗裝置 및 方法

제조반응을 위해 사용된 실험장치는 Fig. 1에 나타난 바와 같다. 반응기는 stainless steel로 된 500mL용량의 autoclave가 사용되었고 그외에 반응물 투입장치, 교반기, sampling valve, 온도의 측정 및 조절장치등이 준비되었다.

실험은 反應溫度 20~50°C, 原料 몰비 ( $\text{NH}_3/\text{C}_2\text{H}_4\text{O}$ ) 1~10의 범위에서 실시되었고 암모니아는 28%의 水溶液을 사용하였다.

반응은 釜을 진공상태로 유지한 다음 ammonia 수용액을 먼저 투입하고, 원하는 반응온도로 조절한 후 ethylene oxide를 주입하여 실시하였다. 반응의 진행여부는 부착된 압력계의 압력변화로 확인하였고 수시로 반응물을 채취하여 분석을 실시하였다.

### III-2. 分析

채취된 試料의 분석을 위해서는 gas chromatograph가 사용되었다. Tenax-GC column을 이용한

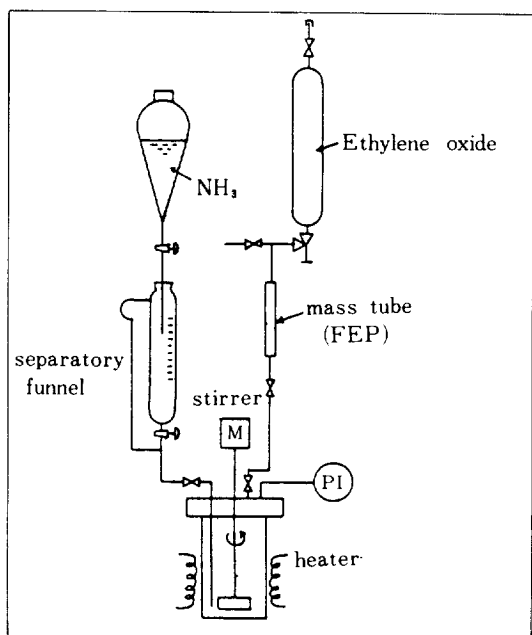


Fig. 1. Experimental apparatus.

thermal conductivity detector에 의한 分析條件 은 다음과 같다.

Column : 4ft  $\times$  1/8 in. OD, stainless steel tube with Tenax-GC 60/80 mesh

Detector : thermal conductivity detector

Carrier Gas : He, 30 ml/min

Injector 温度 : 310°C

Detector 温度 : 330°C

Column 温度 100°C에서 275°C 까지 15°C /min의 速度로 升溫

#### IV. 實驗結果 및 檢討

##### IV - 1. 反應條件에 따른 生成物 分布의 變化

原料의 물比 ( $\text{NH}_3/\text{C}_2\text{H}_4\text{O}$ ) 및 反應溫度의 变化에 따른 生成物의 分布는 Fig. 2에 나타낸 바와 같다. 이미 여러문헌[2, 10, 12]에서 밝혀진 바와 같이 反應溫度가 生成物의 분포에 미치는 영향은 거의 없음을 알 수 있다. 原料 물비가 增加함에 따라 MEA는 增加하고 TEA는 減少하며 DEA는  $R = 3$  부근에서 最大值를 갖게 된다.

##### IV - 2. 速度常數比

生成物의 分布比率과 式(10), (11)로 부터 구해진

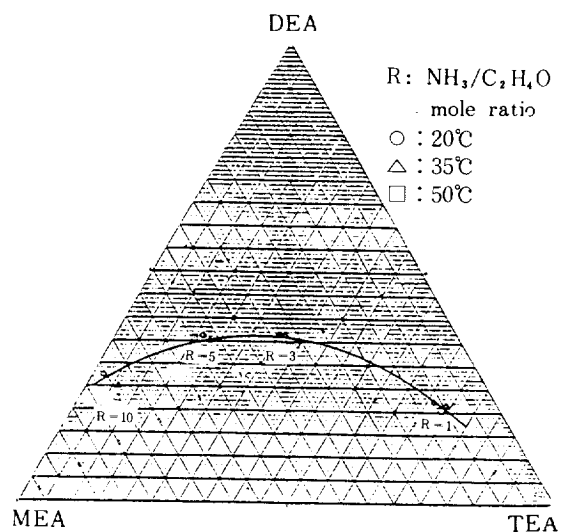


Fig. 2. Product distribution vs. reaction temperature and feed mole ratio.

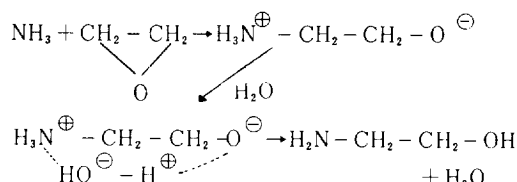
速度常數比  $K_2 (= k_2/k_1)$ ,  $K_3 (= k_3/k_1)$ 는 물濃度 ( $C_w$ )의 函数로 알려져 있는데, 最小自乘法에 의해 구해진 이들의 상관관계는 다음과 같다.

$$K_2 = 8.15 - 0.051 C_w \quad (12)$$

$$K_3 = 14.81 - 0.196 C_w \quad (13)$$

물濃度의 1 차 감소함수로 표시되는  $K_2$ ,  $K_3$ 의 이들 관계식은 물濃度가 增加함에 따라 di-, triethanolamine의 生成속도가 monoethanolamine에 대해 상대적으로 減少함을 의미한다.

물濃度의 变化에 따라 서로 다른 反應速度常數를 갖게 되는 것은 본 反應이 다음과 같이 tautomerism을 포함하는 acid-base catalysis 現象을 나타내고 있는 것으로 보여진다.



MEA로부터 DEA, TEA는 順次的으로 같은 形式의 反應이 일어난다고 보여진다. 生成物의 basicity는  $\text{MEA} > \text{DEA} > \text{TEA}$  순이므로 물濃度가 커지는 경우 EO와의 親和力은 더욱  $\text{MEA} > \text{DEA} >$

Table 1. The magnitude of rate constant ratio ( $K_2$ ,  $K_3$ ).

	$K_2$	$K_3$
Calculated results	$8.15 - 0.051 C_w$	$14.81 - 0.196 C_w$
三木 <sup>2)</sup>	$7.2 - 0.042 C_w$	$16 - 0.22 C_w$
Y. S. Ahn et al <sup>12)</sup>	$21.1 - 0.42 C_w$	$16.4 - 0.25 C_w$
C. Potter et al <sup>13)</sup>	6	4

TEA로 기울어지는 것으로 보인다. 또 물의 Ionization constant ( $K_w$ ) 역시 温度上昇에 따라 增加하므로 反応溫度 上昇時 tautomerism에 有利할 것으로 보이나 그 效果는 정확히 判定하기 어려웠다. Table 1에는 계산된  $K_2$ ,  $K_3$ 의 값을 보여주고 있으며 이 값들은 앞서의 反応機構상의 가정을 뒷받침해 주고 있다.

### N - 3. 活性化에너지의 決定

Fig. 2에 나타난 바와 같이 반응온도에 관계없이 생성물의 분포가 거의 일정한 것은 식(1), (2), (3)의活性化에너지가 동일함을 의미한다. 즉 각 반응식의 활성화에너지가 동일함으로써 반응온도가 변하더라도 그들 사이의 速度比率은 거의 일정하게 유지되기 때문이다.活性化에너지는 温度와 反応速度와의 상관관계로부터 구해질 수 있다.

原料물비가 크고  $C_2H_4O$ 의 反応率이 낮은 범위에서는 MEA의 生成量에 비해 DEA 및 TEA의 生成量은 거의 무시된다. 그러므로 식(4)는 다음과 같이 표시된다.

$$\frac{dC_M}{dt} = k_1 C_A C_E$$

$$C_A = C_{AO} - C_M$$

$$C_E = C_{EO} - C_M$$

$$\frac{dC_M}{dt} = k_1 (C_{AO} - C_M) (C_{EO} - C_M)$$

$$\therefore k_1 = \frac{1}{t(C_{AO} - C_{EO})} \ln \frac{C_{EO}(C_{AO} - C_M)}{C_{AO}(C_{EO} - C_M)} \quad (14)$$

즉 反応時間에 따른 MEA의 濃度를 측정하면  $k_1$ 을 구할 수 있게 된다. Table 2는 식(14)를 통해 구해진 速度常数  $k_1$ 의 값을 나타낸다. 速度常数  $k_1$ 의 값은 温度가 上昇함에 따라서는 커지지만 原料물

Table 2. Determination of rate constant  $k_1$  of MEA formation.

Temp. (°C)	R (NH <sub>3</sub> / EO)	t (min)	MEA (mol/ 1)	DEA (mol/ 1)	TEA (mol/ 1)	NH <sub>3</sub> (mol/ 1)	EO (mol/ 1)	$k_1 \times 10^3$ (1/min. mol)
20	3	5.0	0.294	0.009	-	11,559	3.643	1.320
	5	4.0	0.175	-	-	12,718	2.404	1.372
	5	13.0	0.472	0.022	-	12,399	2.063	1.220
	10	3.5	0.083	-	-	13,708	1.296	1.129
	10	13.0	0.256	-	-	13,535	1.123	1.157
	15	2.0	0.032	-	-	14,087	0.909	1.226
	15	10.0	0.141	-	-	13,978	0.800	1.156
	15	17.0	0.250	-	-	13,869	0.691	1.299
	3	4.0	0.587	0.126	-	11,149	3.116	3.474
	5	2.0	0.206	-	-	12,687	2.373	3.255
35	5	7.0	0.639	0.126	-	12,128	1.688	3.240
	10	4.5	0.242	0.009	-	13,540	1.119	3.133
	10	10.0	0.485	0.075	-	13,231	0.744	3.203
	15	2.0	0.081	-	-	14,038	0.860	3.195
	15	9.0	0.311	0.002	-	13,806	0.544	3.200
	3	1.333	0.436	0.067	-	11,359	3.385	7.526
50	5	1.333	0.331	0.036	-	12,526	2.176	8.097
	10	0.75	0.100	-	-	13,691	1.279	7.305
	15	1.0	0.103	-	-	14,016	0.838	8.239
	15	5.00	0.392	-	-	13,727	0.549	7.755

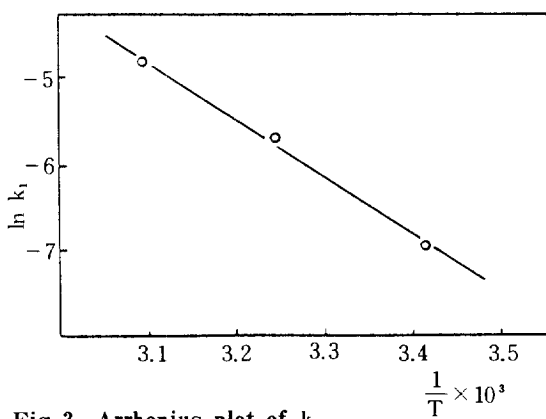


Fig. 3. Arrhenius plot of  $k_1$ .

比에 따라서는 거의一定하게維持되고 있다.

平均값을 구하면 20°C에서  $1.235 \times 10^{-3} l/mol \cdot min$ , 35°C에서  $3.243 \times 10^{-3} l/min \cdot mol$ , 50°C에서는 7.784

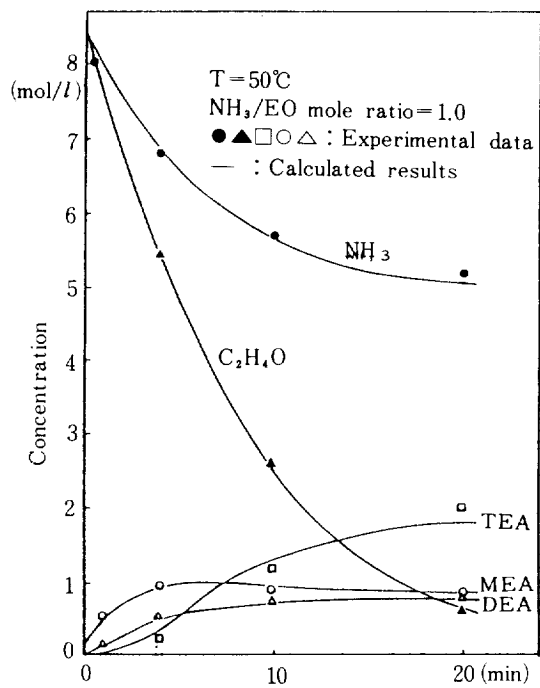


Fig. 4. Moles of reaction mixtures vs. reaction time.

$\times 10^{-3} \text{ l}/\text{min} \cdot \text{mol}$  이 된다. Arrhenius의 법칙에 의하면

$$k_1 = k_0 \exp(-E/RT)$$

$\ln k_1 = -\frac{E}{R} \cdot \frac{1}{T} + C$  로 표시되는데 Fig. 3에 나타낸 바와 같이 기울기로 부터 活性化 에너지를 구하면 약 11,500 cal/mol 이다.

#### IV-4. 時間에 따른 反応生成物의 量

Fig. 4와 Fig. 5는 原料물比가 각각 1.0과 3.0인 경우 反應時間에 따른 ammonia 및 ethylene oxide의 减少와 生成된 MEA, DEA 및 TEA의 变화를 나타내고 있다. 여기서 實驗線은 식(14)에 의해 구한  $k_1$ 의 平均값과 식(12), (13)의 速度常数比  $K_2$ ,  $K_3$ 로 부터 数值解析的으로 계산된 결과이다. 反應을 2 차의 非可逆 consecutive competitive reaction으로 가정한 경우 전 범위에 걸쳐 매우 잘一致하는 것을 알 수 있다. 原料물比가 1.0인 경우 MEA, DEA, TEA의 순으로 생성물의 増減이 일어나게 되는데 MEA는 최대값에 도달했다가 감소하는 경향을 관찰할 수 있고, TEA는 副反応이 눈에 띄게 일어나

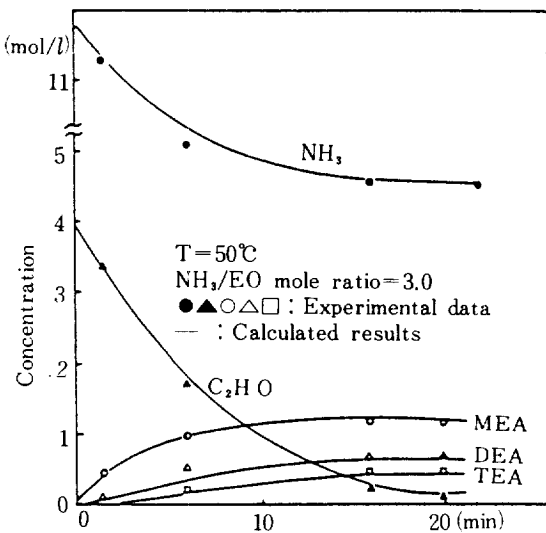


Fig. 5. Moles of reaction mixtures vs. reaction time.

지 않는 한 계속 증가하는 추세를 보이게 된다. 이런 현상은 ethylene oxide의 양이 더 많아 未反応 암모니아의 양이 줄어들 경우 보다 현저하게 나타나겠지만, 암모니아의 비율이 커짐에 따라서는 MEA가 최대값에 도달하기도 전에 ethylene oxide가 모두 반응하여 平衡에 도달하므로 Fig. 5와 같은 형태로 나타나게 된다. MEA의 減少가 일어나기 전에 反応이 中止되므로 ethylene oxide에 대한 am-

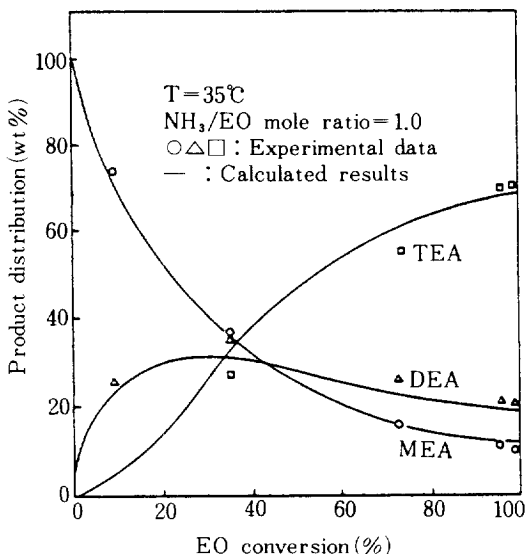


Fig. 6. Product distribution vs. EO conversion.

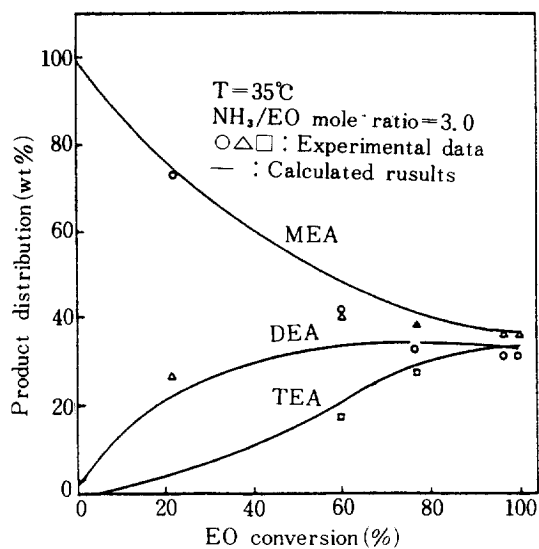


Fig. 7. Product distribution vs. EO conversion.

monia의 몰비가 커짐에 따라서는 MEA의生成比率이 DEA나 TEA에 비해 상대적으로增加하게 된다.

#### IV - 5. Ethylene oxide의 反應率에 따른 生成物比率의 變化

Fig. 6~8은 原料몰비 ( $\text{NH}_3/\text{C}_2\text{H}_4\text{O}$ )가 각각 1.0, 3.0, 5.0인 경우 ethylene oxide의 反應率에 따른 MEA, DEA 및 TEA의 生成比率 변화를 나타내고

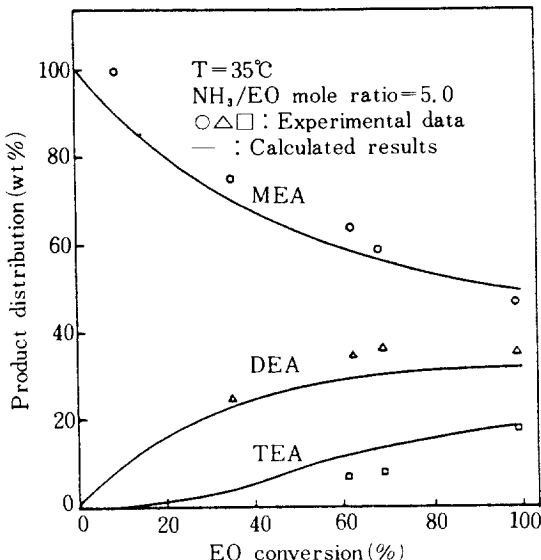


Fig. 8. Product distribution vs. EO conversion.

있다. 각각의 原料몰비에 대해 反應混合物 중에서 각 ethanolamine이 생성되는 진행과정을 살펴볼 수 있는데, 原料몰비가 1.0인 경우를 기준으로 하면 원료몰비가 3.0, 5.0인 경우에 포함되어 있는 ethylene oxide의 양은 같은 양의 암모니아에 대해 각각 33.3%, 20.0%에 불과하다. 그러므로 포함된 ethylene oxide가 모두 반응하였을 때의 最終生成物 分布는 (물농도 변화에 따른  $K_2$ ,  $K_3$  값의 변화때문에 완전히 일치하지는 않지만) 原料몰비가 1.0인 경우에 ethylene oxide의 反應率이 각각 33.3%, 20.0%일 때의 생성물組成과 비슷해진다. 앞에서도 언급되었지만 이러한 사실들은 들어간 原料몰비에 대해 生成物의組成을 예견할 수 있고, 또 特定生成物組成을 원할 경우 반응시켜야 할 原料몰비를決定할 수 있다.

## V. 結論

1. 본 反應은 물의 tautomeric 效果를 포함하고 있는 것으로 간주할 수 있으며, 速度常數比  $K_2$ ,  $K_3$ 는 물濃度 ( $C_w$ )의 1次減少函數로서 다음과 같이 표시된다.

$$K_2 = 8.15 - 0.051 C_w$$

$$K_3 = 14.81 - 0.196 C_w$$

2. 28%의 암모니아水溶液을 사용하는 경우 反應速度  $k_1$ 은 20°C에서  $1.235 \times 10^{-3} \text{ l}/\text{min} \cdot \text{mol}$ , 35°C에서  $3.243 \times 10^{-3} \text{ l}/\text{min} \cdot \text{mol}$ , 50°C에서  $7.784 \times 10^{-3} \text{ l}/\text{min} \cdot \text{mol}$ 이며, 活性化에너지는 각 반응 모두 동일하게 약 11,500 cal/mol 정도이다.

3. 反應을 2次의 非可逆 consecutive competitive reaction으로 가정하는 경우 反應速度  $k_1$ 과 速度常數比  $K_2$ ,  $K_3$ 로부터 數值解析의 으로 계산된 결과들은 반응의 전범위에 걸쳐 實驗值와 매우 잘一致하였다.

## 後記

本論文作成 과정에서 많은 助言을 주신 KAIST任善基教授, 金寅伍博士께 깊은 感謝를 드린다.

## NOMENCLATURE

EO : Ethylene oxide,  $\text{C}_2\text{H}_4\text{O}$

MEA: Monoethanolamine  $\text{NH}_2\text{C}_2\text{H}_4\text{OH}$

DEA: Diethanolamine  $\text{NH}(\text{C}_2\text{H}_4\text{OH})_2$

TEA: Triethanolamine  $\text{N}(\text{C}_2\text{H}_4\text{OH})_3$

$C_A$ ,  $C_E$ ,  $C_M$ ,  $C_D$ ,  $C_T$ ,  $C_W$ : Concentrations of ammonia, ethylene oxide, monoethanolamine, diethanolamine, triethanolamine and water, respectively, mol/liter

$C_{AO}$ ,  $C_{ED}$ : Initial concentrations of ammonia and ethylene oxide, mol/liter

$k_1$ ,  $k_2$ ,  $k_3$ : Reaction rate constants, liter · mol<sup>-1</sup> min<sup>-1</sup>

$K_2$ ,  $K_3$ : Ratio of reaction rate constants,  $k_2/k_1$  and  $k_3/k_1$ , respectively

$K_w$ : Ionization constant of water

## REFERENCES

- Grayson, M. ed.: "Kirk-Othmer Encyclopedia of Chemical Technology", 3rd ed., John Wiley & Sons, N. Y., Vol. 1, p944 (1978).
- 三木正之, 伊藤輝彦, 八田正和: 油化学, **15**, 215 (1966).
- Dow Chemical International: Tech. Bull. "Alkanolamines Handbook", Dow Chemical Company (1964).
- Lowe, A. J. and Butler, D.: *US Patent* 2,823,236 (1958).
- 土屋美智雄: 日本公開特許, 昭53-9707 (1978).
- 日下博行: 日本特許, 昭52-2887 (1977).
- Schwoegler, E. J. and Olin, J. F.: *US Patent* 2,373,166 (1945).
- Ferrero, P., Berbe, F. and Flamme, L. R.: *US Patent* 2,622,073 (1952).
- ベングト・ヨーン・グスタフ・ヴエイブル, レイフ・ウルバン・フォルケ・ソルセル: 日本特許, 昭49-47728 (1974).
- Ferrero, P., Berbe, F. and Flamme, L. R.: *Bull. Soc. Chim. Belg.*, **56**, 349 (1947).
- Natta, J. and Mantica, E.: *J. Am. Chem. Soc.*, **74**, 3152 (1951).
- Ahn, Y. S., Lee, T. Y., Chang, Y. K., Chung, C. B. and Ihm, S. K.: *J. KIChE*, **18**, 393 (1980).
- Potter, C. and McLaughlin, R. R.: *Can J. Research*, **25**, 405 (1947).
- Fuoss, R. M.: *J. Am. Chem. Soc.*, **65**, 2406 (1943).
- ギオアチノ・ユカザ: 日本特許, 昭53-10568 (1978).